

ارزیابی ژئومکانیکی واحدهای رسوبی سازند آغاجاری در پهنه زاگرس

داریوش طاهری^۱، عبدالهادی قزوینیان^{*۲}، محمدرضا نیکودل^۳، مشاء الله خامه‌چیان^۴

پذیرش مقاله : ۸۷/۱۱/۲

دریافت مقاله : ۸۶/۹/۷

چکیده:

رسوبات جوان سازند آغاجاری در جنوب و جنوب‌غربی ایران دارای بیرون‌زدگی‌های گستردگی، ساختگاه تعداد زیادی از پروژه‌های عمرانی در این سازند واقع شده‌اند. بنابراین آشنایی با ویژگی‌های سنگ‌شناسی و پارامترهای ژئومکانیکی واحدهای مختلف این سازند در پهنه زاگرس می‌تواند جهت تهیه یک بانک اطلاعات ژئوتکنیکی، مفید واقع شود. این بانک اطلاعاتی در مطالعات اولیه بسیاری از پروژه‌های مهندسی و تهیه نقشه‌های زمین‌شناسی مهندسی این پهنه، مورد استفاده خواهد بود. در این بررسی ضمن تفکیک این سازند به سه بخش شمال‌غربی، مرکزی و جنوب‌شرقی در پهنه زاگرس، پارامترهای ژئومکانیکی آنها بر اساس داده‌های بدست آمده از آزمون‌های آزمایشگاهی مکانیک سنگ و همچنین اطلاعات حاصل از پروژه‌های اجرا شده در این پهنه، مورد مقایسه و ارزیابی قرار گرفته است. به علاوه ضرایب تبدیل مقاومتی بر اساس نتایج آزمون‌های ساده و ارزان قیمت ارائه شده است. پایداری هر یک از واحدهای سنگی این سازند در برابر فرآیندهای هوازدگی با استفاده از آزمایش دوام‌پذیری نیز مورد ارزیابی قرار گرفته است. در آزمایش‌های سه‌محوری ضمن تعیین سطوح مختلف تنش اصلی در هنگام شکست، پارامترهای φ ، C ، m_i و σ_{ci} محاسبه و شرایط انتقال از رفتار شکننده به شکل پذیر نیز مورد ارزیابی قرار گرفته است. ارزیابی اجمالی نتایج بدست آمده نشان می‌دهد که واحدهای سنگی سازند آغاجاری واقع در بخش مرکزی نسبت به دو بخش شمال‌غربی و جنوب‌شرقی این پهنه، دارای مقادیر مقاومتی بالاتری هستند. این نتیجه ممکن است به این فرضیه منجر شود که واحدهای این بخش احتمالاً به دلیل قرار گرفتن در محدوده عملکرد گسل‌های امتدادلغز هندیجان و کازرون، فرآیندهای دیاژنتیکی را سریع‌تر طی کرده‌اند.

کلید واژه‌ها: سازند آغاجاری، پهنه زاگرس، مقاومت فشاری تک محوری، شاخص بار نقطه‌ای، مقاومت کششی بزرگی، امواج الستیک.

۱- دانشجوی دوره دکترای زمین‌شناسی مهندسی دانشگاه تربیت مدرس

۲- استادیار، گروه مکانیک سنگ دانشکده فنی و مهندسی دانشگاه تربیت مدرس ghazviniana@modares.ac.ir

۳- استادیار، گروه زمین‌شناسی مهندسی دانشکده علوم پایه دانشگاه تربیت مدرس

۴- دانشیار، گروه زمین‌شناسی مهندسی دانشکده علوم پایه دانشگاه تربیت مدرس

*مسئول مکاتبات

علاوه بر کمک شایان به تهیه نقشه‌های دقیق زمین‌شناسی مهندسی بزرگ مقیاس، در طراحی بهینه و کاهش زمان و هزینه اجرای سایر پروژه‌های مهندسی نیز تأثیرگذار باشد.

سازند آغازاری

در میدان نفتی آغازاری مقطع تیپ این سازند شامل ۲۹۶۶ متر رسویات آواری است. از نظر لیتوژوژی واحدهای مختلف آن شامل تنابی از چرخه‌های رسویگذاری بوده که به طرف بالا ریزدانه می‌شوند. هر چرخه به ضخامت ۱۰ تا ۱۰۰ متر، با لایه‌های ماسه‌سنگی آهکی به ضخامت ۲ تا ۵ متر و به رنگ قهوه‌ای تا خاکستری آغاز و با لایه ضخیمی از مارن سرخ رنگ در تناب با لایه‌های نازک ماسه‌سنگ ریزدانه، لایسنگ، گلسنگ و یا رس‌سنگ ادامه می‌یابد. همچنین در برخی نواحی، میان‌لایه‌ها و رگه‌های ژیپسی به ضخامت چند میلیمتر تا چند سانتیمتر در بین این واحدهای آواری قابل مشاهده است.

بطورکلی در پهنه زاگرس سازند آغازاری را می‌توان با دو رخساره متفاوت مشاهده نمود. رخساره اول بیشتر ماسه‌سنگی بوده و در محدوده فارس داخلی و بخش‌هایی از فارس ساحلی، بندرعباس، شمال فروافتادگی دزفول و مرز ایران و عراق رخنمون دارد. رخساره دوم اغلب شامن مارن است که بیشتر در مجاورت فارس ساحلی و قسمت‌های جنوبی و میانی فروافتادگی دزفول قابل مشاهده است. رسویگذاری سازند آغازاری در اواخر دوره میوسن و اوایل پلیوسن در اثر عقب‌نشینی دریا و تشکیل محیط خلیجی و دریاچه‌ای انجام پذیرفته است. سازند آغازاری به صورت تدریجی و هم‌شیب سازند بختیاری پوشیده شده است (آقاباتی، ۱۳۸۳). توسط سازند بختیاری پوشیده شده است (آقاباتی، ۱۳۸۳). (شکل ۱) گسترش سطحی سازند آغازاری را در پهنه زاگرس نشان می‌دهد.

روش تحقیق

با توجه به ویژگی‌های چینه‌شناسی سازند آغازاری و به منظور سهولت در تهیه بلوك‌های سنگی جهت مغزه‌گیری،

مقدمه

ویژگی‌های زمین‌شناسی مهندسی و ژئومکانیکی مصالح زمین در طراحی و روش اجرای پروژه‌های عمرانی اهمیت ویژه‌ای دارند. بنابراین تهیه بانک اطلاعاتی از داده‌های ژئوتکنیکی سازندهایی که از نقطه نظر مهندسی در یک گستره مهم می‌باشند، اهمیت زیادی دارد. این سازندها که اصطلاحاً سازندهای ژئوتکنیکی نامیده می‌شوند و اغلب پروژه‌های عمرانی بر سطح یا داخل آنها اجرا می‌گردند، در کشور ما از تعدد و گسترش فراوانی برخوردار هستند. تاکنون فعالیت بسیار اندکی در این باره صورت گرفته و اغلب پراکنده و پروژه‌های بزرگ مهندسی در آن، به عنوان یکی از این سازندهای ژئوتکنیکی مسئله‌دار در پهنه زاگرس قابل معرفی است. از جمله این پروژه‌ها می‌توان به سد تنظیمی انحراف آب کرخه و تونل‌های انحراف آب سد گتوند (در استان خوزستان)، سدهای شمیل و نیان (در استان هرمزگان)، تونل راه اهرم-فراشیند (در مرز استان‌های فارس و بوشهر) و غیره اشاره نمود. در این بررسی سعی شده با انجام آزمون‌های آزمایشگاهی بر روی نمونه‌های جمع‌آوری شده از برخی رخنمون‌های سازند آغازاری در پهنه زاگرس، ویژگی‌های ژئومکانیکی سنگ بکر واحدهای مختلف این سازند شناسایی و مورد ارزیابی قرار بگیرد. همچنین جهت تکمیل اطلاعات ژئوتکنیکی این سازند، از داده‌های حاصل از پروژه‌های مختلف اجرا شده در این پهنه نیز استفاده گردیده است (دوست‌محمدی، ۱۳۷۸)، (شریفی، ۱۳۸۴)، (شمی فراشان، ۱۳۸۱)، (فتحی‌برفه، ۱۳۸۳)، (مرادیان، ۱۳۸۴)، و (مهاب قدس، ۱۳۸۳). این تحقیق هر چند ممکن است از لحاظ گسترش جغرافیایی و یا از جنبه نتایج آزمون‌های مکانیک سنگ بر جا دارای کاستی‌هایی باشد، ولی دریچه‌ای را فرا راه پژوهشگران و محققین این رشته قرار می‌دهد تا با استفاده از اطلاعات موجود، در تهیه و تکمیل این بانک اطلاعاتی تلاش نمایند. تکمیل این بانک با استفاده از داده‌های ژئوتکنیکی سایر پروژه‌های در حال اجرا و همچنین پروژه‌های آتی، می‌تواند

گردیده است و (Brown, 1981). آزمون‌ها شامل تعیین خصوصیات فیزیکی (ISRM و ASTM D2216)، شاخص بارنقطه‌ای (ASTM D5731)، مقاومت فشاری تکمحوری، D2938 مدول الاستیستیه و ضریب پوآسون (D3148 و ASTM)، مقاومت کششی غیرمستقیم برزیلی (ISRM)، سرعت امواج صوتی و تعیین ثابت‌های الاستیک دینامیکی D4644 (ASTM D2845)، شاخص دوام‌پذیری (ASTM D2664) و مقاومت فشاری سه محوری (ASTM) هستند. لازم به ذکر است کلیه ویژگی‌های مقاومتی سنگ‌ها در حالت خشک بدست آمده‌اند. در ذیل به شرح آزمایش‌ها وارزیابی نتایج بدست آمده پرداخته شده است.

۱- خصوصیات فیزیکی

خصوصیات فیزیکی شامل تعیین دانسیته خشک و اشباع، درصد تخلخل، درصد جذب آب، وزن مخصوص و حدود آتربرگ نمونه‌هایی که در تماس با آب دچار شکفتگی می‌شوند، می‌باشد. نتایج این آزمایش‌ها در جدول ۲ ارائه شده است. مطابق این جدول ماسه‌سنگ‌های بخش مرکزی دارای حداقل دانسیته خشک و حداقل درصد تخلخل هستند. همچنین در بخش شمال‌غربی واحدهای گلسنگ و رس‌سنگ به ترتیب دارای حداقل دانسیته خشک و حداقل درصد تخلخل هستند. در بخش جنوب‌شرقی نیز واحدهای لای‌سنگ و رس‌سنگ به ترتیب دارای حداقل دانسیته خشک و حداقل درصد تخلخل می‌باشند. نتایج آزمایش حدود آتربرگ بیانگر آن است که شاخص خمیری (PI) سنگ‌های گلی (Mud Rocks) در محدوده کمتر از ۱۰ تا بیش از ۲۵ درصد و با مقدار متوسط ۱۲ تا ۱۵ درصد قرار دارد.

۲- ویژگی‌های مقاومتی سنگ بکر

نتایج آزمایش‌های مقاومتی سنگ بکر در جدول ۳ ارائه شده‌اند. این آزمایش‌ها شامل آزمایش شاخص بارنقطه‌ای، مقاومت تراکمی تکمحوری و مقاومت کششی غیرمستقیم برزیلی می‌باشند.

ابتدا این پهنه به سه بخش شمال‌غربی (بخش شمالی فروافتادگی دزفول و گسل هندیجان-بهرگانسر)، مرکزی (بخش جنوبی فروافتادگی دزفول و ناحیه بین گسل‌های هندیجان- بهرگانسر و قطر- کازرون) و جنوب‌شرقی (بین گسل‌های میناب و قطر- کازرون) تقسیم گردید. سپس نمونه‌برداری از رخنمونه‌های این سازند که در بخش‌های شمال‌غربی و جنوب‌شرقی شامل ماسه‌سنگ، لای‌سنگ، گلسنگ، رس‌سنگ و مارن و در بخش میانی شامل ماسه‌سنگ و مارن بودند، صورت گرفت. پس از حمل بلوك‌ها به آزمایشگاه، از آنها مغزه‌گیری شده و نمونه‌های مناسب جهت انجام آزمایش‌های ژئومکانیکی تهیه گردید. همچنین به منظور تکمیل بانک اطلاعاتی، از نتایج آزمون‌های ژئومکانیکی حاصل از پروژه‌های مختلف احداث شده در این سازند، نظری سدها و تونل‌های انحراف آب کرخه و گتوند و دکل مخابراتی اهواز تپه (در بخش شمال‌غربی)، سدهای شمیل و نیان (در بخش جنوب‌شرقی)، و همچنین تونل راه اهرم- فراشیند (در بخش مرکزی)، استفاده گردید. در جدول ۱ موقعیت نسبی، جنس سنگ، محل نمونه‌برداری‌ها و تعداد نمونه‌های مورد ارزیابی در پهنه زاگرس مشخص شده است. همانگونه که ملاحظه می‌شود از تعداد ۹ محل نمونه‌برداری، بیش از ۱۱۰ نمونه انتخاب شده‌اند. در این بررسی با استفاده از روش‌های آماری توصیفی و رگرسیون خطی و غیرخطی، نتایج بدست آمده از آزمون‌های آزمایشگاهی برای واحدهای مختلف سازند آگاجاری مورد مقایسه قرار گرفته و ضمن آزمایش‌های داده‌ها، ضرایب تبدیل مقاومتی برای این واحدها نیز ارائه شده است.

آزمایش‌های ژئومکانیکی

جهت تعیین پارامترهای ژئومکانیکی سنگ بکر، آزمایش‌های متداول مکانیک سنگ مطابق استانداردهای لازم بر روی نمونه‌های بدست آمده (فهیمی‌فر و سروش، ۱۳۸۰) از بخش‌های مختلف سازند آگاجاری در پهنه زاگرس انجام

جدول ۱- موقعیت نسبی، جنس سنگ، محل و تعداد نمونه برداری در سازند آغاجاری (پهنه زاگرس)

ردیف	موقعیت نسبی در پهنه زاگرس	جنس سنگ	محل نمونه برداری	تعداد نمونه
۱	شمال غربی	ماسه سنگ	جاده اندیمشک - خرم‌آباد (۱)	۲
۲		ماسه سنگ	تپه مخابراتی اهواز (۴)	۶
۳		ماسه سنگ	شمال شوستر، ساختگاه سد گتوند (۳)	۸
۴		ماسه سنگ	شمال غرب اندیمشک، ساختگاه سد کرخه (۲)	۹
۵		لای سنگ	شمال شوستر، ساختگاه سد گتوند (۳)	۴
۶		لای سنگ	شمال غرب اندیمشک، ساختگاه سد کرخه (۲)	۶
۷		لای سنگ	تپه مخابراتی اهواز (۴)	۴
۸		گلسنگ	شمال شوستر، ساختگاه سد گتوند (۳)	۳
۹		گلسنگ	شمال غرب اندیمشک، ساختگاه سد کرخه (۲)	۴
۱۰		رس سنگ	شمال شوستر، ساختگاه سد گتوند (۳)	۴
۱۱		رس سنگ	جاده اندیمشک - خرم‌آباد (۱)	۳
۱۲		مارن	تپه مخابراتی اهواز (۴)	۴
۱۳		مارن	جاده اندیمشک - خرم‌آباد (۱)	۵
۱۴	مرکزی	ماسه سنگ	شرق بوشهر، ساختگاه تونل اهرم-فراشبند (۶)	۸
۱۵		ماسه سنگ	شرق بندر دیلم، منطقه نفتی بی بی حکیمه (۵)	۴
۱۶		مارن	شرق بوشهر، ساختگاه تونل اهرم-فراشبند (۶)	۷
۱۷		ماسه سنگ	شمال بندر عباس، ساختگاه سد شمیل و نیان (۹)	۳
۱۸	جنوب شرقی	ماسه سنگ	جاده بندر عباس-سیرجان (۸)	۳
۱۹		ماسه سنگ	جاده بندر عباس-بندر شهید رجایی (۷)	۴
۲۰		لای سنگ	جاده بندر عباس-سیرجان (۸)	۲
۲۱		لای سنگ	جاده بندر عباس-بندر شهید رجایی (۷)	۲
۲۲		گلسنگ	شمال بندر عباس، ساختگاه سد شمیل و نیان (۹)	۸
۲۳		رس سنگ	جاده بندر عباس-بندر شهید رجایی (۷)	۳
۲۴		مارن	جاده بندر عباس-بندر شهید رجایی (۷)	۵

* اعداد داخل پرانتز، شماره محل نمونه برداری‌ها را بر روی نقشه شکل ۱- نشان می‌دهند

مقدار متوسط شاخص بار نقطه‌ای برای واحد گلسنگی در بخش جنوب شرقی معادل $61/0$ MPa و بیشترین مقدار متوسط آن برای ماسه سنگ‌های بخش مرکزی برابر MPa $11/3$ بدست آمده است.

۱-۱- شاخص بار نقطه‌ای آزمایش شاخص بار نقطه‌ای یکی از روش‌های سریع و ارزان قیمت برای تعیین مقاومت سنگ‌ها می‌باشد (Bieniawski, 1972)، (Thornton, 1975⁽²⁾) و (Broch & Franklin, 1975⁽²⁾) است. بر اساس نتایج بدست آمده، کمترین

جدول ۲) خصوصیات فیزیکی و حدود آتیروگ واحدهای رسوبی سازند آغاجاری در پهنه زاگرس

P.I	P.L	L.L	وزن مخصوص	جذب آب	تغطیل	دالسته اشعاع	جنس سنگ	موقعیت	ردف
(%)	(%)	(%)	(%)	(%)	(g/cm³)	(g/cm³)			
—	—	—	—	—	۰/۷۸ (۰/۲۰-۱/۱۳۴)	۱/۳۷ (۰/۲۰-۱/۱۳۶)	۷/۶۳ (۰/۱۰-۱/۷۸)	۷/۴۹ (۰/۱۰-۱/۷۶)	۱
۱۰/۲ (۰/۱۰-۱/۰۲۵)	۱۱/۳ (NP-۱/۱۷۶)	۱۱/۳ (NP-۱/۱۷۶)	۱۱/۰ (۰/۸۳۸/۰/۵)	۰/۷۸ (۰/۹۰-۱/۱۷۱)	۰/۷۸ (۰/۹۰-۱/۱۷۱)	۱/۶۴ (۰/۱۰-۱/۷۴)	۷/۳۵ (۰/۱۰-۱/۷۴)	۷/۳۵ (۰/۱۰-۱/۷۶)	۲
۱۷/۳۰ (۰/۹۲-۲/۲۷۶)	۱۱/۳۰ (۰/۹۷-۱/۰۲)	۱۱/۳۰ (۰/۹۷-۱/۰۲)	۱۱/۳۰ (۰/۱۳۲-۳/۳۴)	۰/۷۸ (۰/۹۰-۱/۱۸۲)	۰/۷۸ (۰/۹۰-۱/۱۸۲)	۱/۶۳ (۰/۱۰-۱/۷۴)	۷/۳۳ (۰/۱۰-۱/۷۴)	۷/۳۳ (۰/۱۰-۱/۷۵)	۳
۱۰ (۰/۲۸/۰)	۲۰ (۰/۱۶/۳)	۲۰ (۰/۱۶/۳)	۳۰ (۰/۴۴/۰)	۰/۹ (۰/۲۰-۱/۱۲۳)	۰/۹ (۰/۲۰-۱/۱۲۳)	۱/۶۴ (۰/۱۰-۱/۲۳۱)	۷/۳۴ (۰/۱۰-۱/۲۳۱)	۷/۳۴ (۰/۱۰-۱/۲۳۱)	۴
۱۱/۳۰ (۰/۹۸-۱/۳۸)	۲۲/۰ (۰/۹۳۰-۲/۷۳۷)	۲۲/۰ (۰/۹۳۰-۲/۷۳۷)	۳۹/۰ (۰/۲۷-۲/۷۳۷)	۰/۹ (۰/۲۰-۱/۱۲۳)	۰/۹ (۰/۲۰-۱/۱۲۳)	۱/۶۴ (۰/۱۰-۱/۲۳۱)	۷/۳۵ (۰/۱۰-۱/۲۳۱)	۷/۳۵ (۰/۱۰-۱/۲۳۱)	۰
—	—	—	—	—	۰/۹ (۰/۱۰-۱/۰۵)	۱/۶۴ (۰/۱۰-۱/۰۵)	۷/۳۵ (۰/۱۰-۱/۰۵)	۷/۳۵ (۰/۱۰-۱/۰۵)	۰
۹/۰ (۰/۱۲-۱/۲۷)	۳۷/۰ (۰/۱۲-۰-۴۹)	۳۷/۰ (۰/۱۲-۰-۴۹)	۴۷/۰ (۰/۱۰-۰-۴۹)	۰/۹ (۰/۱۰-۰-۴۹)	۰/۹ (۰/۱۰-۰-۴۹)	۱/۶۴ (۰/۱۰-۰-۴۹)	۷/۳۶ (۰/۱۰-۰-۴۹)	۷/۳۶ (۰/۱۰-۰-۴۹)	۱
—	—	—	—	—	۰/۹ (۰/۱۰-۰-۴۹)	۱/۶۴ (۰/۱۰-۰-۴۹)	۷/۳۶ (۰/۱۰-۰-۴۹)	۷/۳۶ (۰/۱۰-۰-۴۹)	۱
۱۰/۰ (NP-۱/۱۷۶)	۱۰/۰ (NP-۱/۱۷۶)	۱۰/۰ (NP-۱/۱۷۶)	۱۰/۰ (NP-۱/۱۷۶)	۰/۹ (۰/۱۰-۰-۴۹)	۰/۹ (۰/۱۰-۰-۴۹)	۱/۶۴ (۰/۱۰-۰-۴۹)	۷/۳۶ (۰/۱۰-۰-۴۹)	۷/۳۶ (۰/۱۰-۰-۴۹)	۷
۱۷/۰ (۰/۱۷-۰-۴۰)	۲۷/۰ (۰/۱۷-۰-۴۰)	۲۷/۰ (۰/۱۷-۰-۴۰)	۳۷/۰ (۰/۱۷-۰-۴۰)	۰/۹ (۰/۱۰-۰-۴۰)	۰/۹ (۰/۱۰-۰-۴۰)	۱/۶۴ (۰/۱۰-۰-۴۰)	۷/۳۶ (۰/۱۰-۰-۴۰)	۷/۳۶ (۰/۱۰-۰-۴۰)	۸
—	—	—	—	—	۰/۹ (۰/۱۰-۰-۴۰)	۱/۶۴ (۰/۱۰-۰-۴۰)	۷/۳۶ (۰/۱۰-۰-۴۰)	۷/۳۶ (۰/۱۰-۰-۴۰)	۸
۱۰/۰ (NP-۱/۱۷۶)	۱۰/۰ (NP-۱/۱۷۶)	۱۰/۰ (NP-۱/۱۷۶)	۱۰/۰ (NP-۱/۱۷۶)	۰/۹ (۰/۱۰-۰-۴۰)	۰/۹ (۰/۱۰-۰-۴۰)	۱/۶۴ (۰/۱۰-۰-۴۰)	۷/۳۶ (۰/۱۰-۰-۴۰)	۷/۳۶ (۰/۱۰-۰-۴۰)	۹
۱۷/۰ (۰/۱۷-۰-۴۰)	۲۷/۰ (۰/۱۷-۰-۴۰)	۲۷/۰ (۰/۱۷-۰-۴۰)	۳۷/۰ (۰/۱۷-۰-۴۰)	۰/۹ (۰/۱۰-۰-۴۰)	۰/۹ (۰/۱۰-۰-۴۰)	۱/۶۴ (۰/۱۰-۰-۴۰)	۷/۳۶ (۰/۱۰-۰-۴۰)	۷/۳۶ (۰/۱۰-۰-۴۰)	۹
۱۷/۰ (۰/۱۷-۰-۴۰)	۲۷/۰ (۰/۱۷-۰-۴۰)	۲۷/۰ (۰/۱۷-۰-۴۰)	۳۷/۰ (۰/۱۷-۰-۴۰)	۰/۹ (۰/۱۰-۰-۴۰)	۰/۹ (۰/۱۰-۰-۴۰)	۱/۶۴ (۰/۱۰-۰-۴۰)	۷/۳۶ (۰/۱۰-۰-۴۰)	۷/۳۶ (۰/۱۰-۰-۴۰)	۱۰
۱۷/۰ (۰/۱۷-۰-۴۰)	۲۷/۰ (۰/۱۷-۰-۴۰)	۲۷/۰ (۰/۱۷-۰-۴۰)	۳۷/۰ (۰/۱۷-۰-۴۰)	۰/۹ (۰/۱۰-۰-۴۰)	۰/۹ (۰/۱۰-۰-۴۰)	۱/۶۴ (۰/۱۰-۰-۴۰)	۷/۳۶ (۰/۱۰-۰-۴۰)	۷/۳۶ (۰/۱۰-۰-۴۰)	۱۱
۱۷/۰ (۰/۱۷-۰-۴۰)	۲۷/۰ (۰/۱۷-۰-۴۰)	۲۷/۰ (۰/۱۷-۰-۴۰)	۳۷/۰ (۰/۱۷-۰-۴۰)	۰/۹ (۰/۱۰-۰-۴۰)	۰/۹ (۰/۱۰-۰-۴۰)	۱/۶۴ (۰/۱۰-۰-۴۰)	۷/۳۶ (۰/۱۰-۰-۴۰)	۷/۳۶ (۰/۱۰-۰-۴۰)	۱۲

جدول ۳- مقادیر پارامترهای مقاومتی واحدهای سنگی سازند آغازگاری در پهنه زاگرس

σ_t (MPa)	$Is_{(50)}$	E (GPa)	v	σ_c (MPa)	جنس سنگ	موقعیت	ردیف
۲/۱۸ (۰/۸۵-۴/۲۹)	۱/۶۲ (۰/۵۴-۳/۱۷)	۲/۸۵ (۰/۷۴-۶/۶۷)	۰/۲۷ (۰/۲۵-۰/۳۳)	۲۱/۶۴ (۷/۰-۵۴/۱۵)	ماسهسنگ	پیمانه‌گری	۱
۱/۹۵ (۰/۱۱-۳/۴۵)	۱/۲۳ (۰/۱۴-۲/۱۶)	۲/۰۷ (۰/۱۰-۴/۰)	۰/۲۸ (۰/۲۵-۰/۴۶)	۱۹/۷۳ (۱/۱۰-۳۱/۱۵)	لای سنگ		۲
۱/۶۹ (۰/۳۱-۳/۴۶)	۱/۱۲ (۰/۲۳-۱/۵۲)	۱/۷۴ (۰/۳۴-۵/۵۵)	۰/۲۲ (۰/۲۹-۰/۴۰)	۱۴/۱۷ (۲/۷۹-۳۷/۲۹)	گلسنگ		۳
۱/۸۰ (۰/۱۱-۳/۷۹)	۱/۲۲ (۰/۱۰-۲/۵۴)	۱/۹۰ (۰/۲۳-۳/۸۰)	۰/۳۴ (۰/۳۰-۰/۴۲)	۱۷/۴۴ (۱/۱۴-۴۰/۷۵)	رس سنگ		۴
۱/۹۲ (۰/۷۶-۲/۴۵)	۱/۵۴ (۰/۶۷-۱/۸۸)	۲/۱۷ (۰/۸۹-۳/۳۰)	۰/۳۰ (۰/۲۶-۰/۳۶)	۲۵/۳۶ (۱۰/۷-۳۱/۴۹)	مارن		۵
۴/۹۵ (۲/۶۷-۷/۸۷)	۳/۱۱ (۱/۹۴-۵/۲۵)	۵/۴۵ (۱/۱۶-۱۱/۶۴)	۰/۲۴ (۰/۱۹-۰/۲۸)	۴۶/۸۴ (۳۰/۶۷-۱۶/۱۵)	ماسهسنگ	پیمانه‌گری	۶
۲/۲۲ (۰/۰۷-۳/۷۸)	۱/۳۸ (۰/۸۵-۲/۵۴)	۱/۷۰ (۰/۷۵-۳/۶۲)	۰/۲۹ (۰/۲۵-۰/۳۷)	۲۶/۷۴ (۱۲/۱۸-۴۱/۵۶)	مارن		۷
۱/۳۰ (۰/۴۷-۱/۵۴)	۰/۹۴ (۰/۳۶-۱/۸۶)	۱/۱۶ (۰/۰۵۷-۳/۱۴)	۰/۲۹ (۰/۲۷-۰/۳۵)	۱۶/۲۱ (۵/۳۳-۱۷/۴۱)	ماسهسنگ		۸
۱/۲۴ (۰/۴۲-۱/۵۴)	۰/۷۵ (۰/۴۰-۱/۲۴)	۱/۲۱ (۰/۰۵۱-۱/۷۶)	۰/۳۰ (۰/۲۶-۰/۳۶)	۱۲/۵۴ (۴/۸۶-۲۳/۰)	لای سنگ		۹
۱/۰۳ (۰/۶۵-۱/۶۰)	۰/۶۱ (۰/۵۹-۱/۲۳)	۱/۰۷ (۰/۵۴-۲/۰۵)	۰/۳۳ (۰/۲۹-۰/۴۰)	۱۰/۲۷ (۵/۵۰-۲۲/۳۰)	گلسنگ	پیمانه‌گری	۱۰
۰/۹۶ (۰/۷۸-۱/۰۷)	۰/۷۱ (۰/۶۸-۰/۷۳)	۱/۱۵ (۰/۰۴۸-۲/۲۱)	۰/۳۵ (۰/۳۲-۰/۴۱)	۹/۷۵ (۱/۱۵-۱۵/۲۰)	رس سنگ		۱۱
۱/۳۱ (۰/۸۱-۲/۳۰)	۱/۴۴ (۰/۶۸-۱/۷۶)	۱/۸۶ (۰/۸۸-۳/۱۷)	۰/۳۰ (۰/۲۶-۰/۳۷)	۱۷/۲۱ (۹/۷۵-۲۸/۶۴)	مارن		۱۲

(Lavrov & Vervoort, 2002). نتایج نشان می‌دهند کمترین

مقدار متوسط مقاومت کششی به واحد رس سنگی در جنوب شرق (۰/۹۶ MPa) و بیشترین مقدار متوسط آن به واحد ماشه سنگی بخش مرکزی (۴/۹۵ MPa) تعلق دارد.

۳- سرعت صوت و ثابت‌های الاستیک دینامیکی

آزمایش تعیین سرعت امواج صوتی از جمله آزمایش‌های دینامیکی و غیرمخرب است که به وسیله آن می‌توان ثابت‌های الاستیک دینامیکی سنگ نظیر مدلول الاستیسیته و ضریب پوآسون را تعیین نمود (Abdullah & Dhawan, 2002). در جدول ۴ مقادیر حاصل از این آزمایش ارائه شده است. کمترین سرعت متوسط موج تراکمی الاستیک (V_p), مربوط به واحد لای سنگ بخش جنوب شرقی (۱۵۶۱ m/s) و بالاترین مقدار متوسط آن مربوط به واحد ماشه سنگ بخش مرکزی (۳۵۶۲ m/s) می‌باشد.

۴- شاخص دوام وارفتگی

آزمایش شاخص دوام وارفتگی (Durability) جهت ارزیابی پایداری سنگ‌ها در برابر فرآیندهای هوازدگی مورد استفاده

۲-۲- مقاومت فشاری تک محوری

در مهندسی سنگ به میزان وسیعی از مقاومت فشاری تک محوری و ضرائب الاستیسیته سنگ‌ها جهت طبقه‌بندی آنها و طراحی سازه‌های سطحی و زیرسطحی استفاده می‌شود (Gunsallus & Kulhawy, 1986) (جدول ۳)، کمترین مقدار متوسط مقاومت فشاری تک محوری مربوط به واحد رس سنگی بخش جنوب شرقی (۹/۷۵ MPa) و بالاترین مقدار متوسط آن مربوط به واحد ماشه سنگ بخش مرکزی (۴۶/۸۴ MPa) بدست آمده است. بررسی مقادیر متوسط مدلول الاستیسیته و ضریب پوآسون نمونه‌ها نشان می‌دهد که پائین‌ترین مقادیر متوسط آنها به ترتیب مربوط به واحدهای گلسنگی بخش جنوب شرقی ($E=1/۰۷$ GPa) و ماشه سنگی بخش مرکزی ($E=۰/۲۴$ GPa) و بالاترین مقادیر متوسط به ترتیب مربوط به واحدهای ماشه سنگی بخش مرکزی ($E=۵/۴۵$ GPa) و رس سنگ‌های بخش جنوب شرقی ($E=۰/۳۵$) است.

۳-۲- تعیین مقاومت کششی غیرمستقیم

آزمایش غیرمستقیم برزیلی ساده‌ترین و سریع‌ترین روش برای تعیین مقاومت کششی سنگ‌ها تشخیص داده شده است

بخش‌های شمال‌غربی و جنوب‌شرقی ناپایدارترین و ماسه‌سنگ‌های بخش مرکزی مقاوم‌ترین واحدها در برابر فرآیندهای هوازدگی هستند.

۵- مقاومت فشاری سه‌محوری

نتایج آزمایش مقاومت فشاری سه‌محوری جهت محاسبه ظرفیت برابری پی‌های سنگی، طراحی سدها و حفریات Aversa & Zirzini از اهمیت بسیاری برخوردار است (Evangelista, 1993 و Ramamurthy, 2001). آزمایش‌های مقاومت فشاری سه‌محوری در نرخ بارگذاری حدود ۰/۵ مگاپاسکال در ثانیه و سطوح تنفس محصور کننده (۵، ۶، ۱۰ و ۱۴ مگاپاسکال انجام گردیده است. با توجه به نتایج حاصل از این آزمایش‌ها که در جدول ۷ ارائه گردیده، زاویه اصطکاک داخلی متوسط نمونه‌ها بین ۲۴/۵ (رس‌سنگ جنوب‌شرقی) تا ۵۳/۲ درجه (ماسه‌سنگ مرکزی) و چسبندگی متوسط بین ۳/۶۵ MPa (رس‌سنگ جنوب‌شرقی) تا ۷/۸۵ MPa (ماسه‌سنگ مرکزی) قرار دارد.

قرار می‌گیرد. هر چه این شاخص (Id) بیشتر باشد، میزان فرسایش، انحلال و خرد شدن سنگ‌ها در برابر هوازدگی کمتر است (Ulusay & Sonmez, 2000). فرانکلین (Gamble, 1971) و آمفورت (Aufmuth, 1970) از جمله افرادی هستند که سنگ‌ها را بر اساس شاخص دوام‌پذیری و یا درصد افت وزنی رده‌بندی کرده‌اند. نتایج این آزمایش در جدول ۵ ارائه شده است. مطابق نتایج بدست آمده واحد رس‌سنگی در بخش جنوب‌شرقی دارای حداقل مقدار متوسط شاخص دوام در سیکل‌های اول و دوم به ترتیب برابر ۵۶/۲۸ و ۴۳/۶۵ درصد است. که در سیکل دوم ۱۰۰ درصد افت وزنی داشته است. همچنین ماسه‌سنگ‌های بخش مرکزی در هر دو سیکل آزمایش دارای بالاترین شاخص دوام‌وارفتگی (Id=۹۹/۳۷) و ۹۸/۲۳ (Id-2) بوده‌اند. در جدول ۶ واحدهای سنگی سازند آغازگاری در سیستم‌های طبقه‌بندی فرانکلین (شاخص دوام در سیکل اول)، گامبل (شاخص دوام در سیکل دوم) و آمفورت (درصد افت وزنی در سیکل اول) مورد رده‌بندی قرار گرفته‌اند. این ارزیابی نشان می‌دهد رس‌سنگ‌های

جدول ۴- نتایج آزمایش تعیین سرعت امواج صوتی و ثابت‌های الاستیک دینامیکی سنگ

E _d (GPa)			v _d			V _S (m/s)			V _P (m/s)			جنس سنگ	موقعیت
(Ave)	(Max)	(Min)	(Ave)	(Max)	(Min)	(Ave)	(Max)	(Min)	(Ave)	(Max)	(Min)		
۱۱/۲۷	۱۶/۸۵	۴/۳۹	۰/۲۳	۰/۲۷	۰/۱۹	۱۵۹۴	۳۲۵۱	۷۶۸	۲۲۲۶	۴۸۷۸	۱۱۲۹	ماسه‌سنگ	شمال‌غربی
۶/۸۴	۱۰/۵۲	۱/۷۳	۰/۲۲	۰/۲۹	۰/۱۷	۱۵۲۴	۲۱۳۶	۵۲۷	۲۲۳۷	۳۱۲۴	۷۲۹	لای‌سنگ	
۵/۲۷	۱۴/۹۵	۱/۲۹	۰/۲۷	۰/۳۳	۰/۲۱	۱۴۲۷	۱۸۲۵	۵۶۶	۲۱۰۸	۲۷۱۵	۷۵۲	گلسنگ	
۳/۸۴	۷/۴۰	۱/۶۷	۰/۲۹	۰/۳۶	۰/۲۳	۱۲۹۰	۱۷۵۵	۵۷۴	۲۳۱۷	۲۸۷۰	۸۴۷	رس‌سنگ	
۷/۲۷	۱۲/۴۸	۲/۲۶	۰/۲۴	۰/۲۱	۰/۲۲	۱۳۳۵	۲۱۲۴	۶۸۹	۲۰۵۸	۳۱۴۰	۱۱۲۹	مارن	
۱۶/۵۶	۳۲/۰۷	۱۲/۹۵	۰/۲۱	۰/۲۵	۰/۱۷	۲۴۱۹	۳۱۴۲	۱۸۶۷	۳۵۶۲	۴۳۸۷	۲۷۵۰	ماسه‌سنگ	
۸/۷۹	۱۵/۴۶	۲/۹۰	۰/۲۳	۰/۲۹	۰/۲۱	۱۴۱۷	۲۱۲۴	۷۵۰	۲۱۱۷	۳۱۴۰	۱۲۳۶	مارن	مرکزی
۱۰/۱۷	۱۶/۱۹	۲/۹۶	۰/۲۶	۰/۳۲	۰/۲۳	۱۱۳۹	۱۳۱۶	۷۱۵	۱۶۷۲	۱۸۱۵	۱۰۵۰	ماسه‌سنگ	
۵/۶۲	۸/۷۷	۱/۲۴	۰/۲۵	۰/۳۲	۰/۲۲	۱۰۴۸	۱۵۵۸	۴۶۳	۱۵۶۱	۲۱۷۵	۶۷۴	لای‌سنگ	
۸/۳۴	۱۱/۹۳	۲/۹۷	۰/۲۹	۰/۳۳	۰/۲۴	۱۳۵۲	۱۶۴۲	۷۸۹	۲۱۶۲	۲۴۵۰	۱۲۱۲	گلسنگ	جنوب‌شرقی
۷/۸۴	۱۲/۴۵	۳/۱۶	۰/۳۵	۰/۳۸	۰/۳۲	۱۴۷۸	۱۶۸۵	۸۵۳	۲۲۰۵	۲۵۱۵	۱۲۶۴	رس‌سنگ	
۵/۴۹	۱۰/۹۳	۱/۷۹	۰/۲۵	۰/۳۲	۰/۲۲	۱۳۱۲	۱۹۶۳	۶۲۸	۱۸۹۴	۲۳۴۵	۱۰۷۵	مارن	

جدول ۵- نتایج آزمایش دوام پذیری سنگ

D2	D1	Id-2 (%)			Id-1 (%)			جنس سنگ	موقعیت
(Ave)	(Ave)	(Ave)	(Max)	(Min)	(Ave)	(Max)	(Min)		
۱۹/۶۱	۱۰/۸۳	۸۰/۳۹	۹۶/۸۷	۶۱	۸۹/۱۷	۹۷/۲۴	۷۸/۴۰	ماسه سنگ	شمال غربی
۲۵/۶۳	۱۶/۶۸	۷۴/۳۷	۸۴/۳۰	۵۳/۵۵	۸۳/۳۲	۹۱/۵۰	۶۴/۷۹	لای سنگ	
۳۶/۰۴	۲۳/۷۱	۶۳/۹۶	۷۶/۳۵	۳۴/۲۹	۷۶/۲۹	۸۴/۲۵	۴۷/۲۶	گلسنگ	
۴۸/۲۴	۳۵/۴۶	۵۱/۷۶	۷۱/۲۶	-----	۶۴/۵۴	۸۵/۴۷	۷/۱۵	رس سنگ	
۲۸/۵۵	۲۰/۳۷	۷۱/۴۵	۷۸/۲۴	۵۹/۳۱	۷۹/۶۳	۸۴/۲۵	۷۲/۴۷	مارن	
۱/۷۷	۰/۶۳	۹۸/۲۳	۹۹/۰۴	۹۷/۲۸	۹۹/۳۷	۹۹/۶۸	۹۸/۹۱	ماسه سنگ	
۲۵/۶۳	۱۴/۵۹	۷۴/۳۷	۸۳/۶۶	۶۶/۴۵	۸۵/۴۱	۹۲/۱۷	۷۹/۵۰	مارن	مرکزی
۳۹/۷۴	۲۳/۳۶	۶۰/۲۶	۷۸/۲۰	۵۳/۸۲	۷۶/۶۴	۸۴/۷۰	۶۲/۷۱	ماسه سنگ	جنوب شرقی
۴۹/۳۹	۳۲/۶۱	۵۰/۶۱	۶۳/۴۵	۳۶/۵۸	۶۷/۳۹	۸۲/۳۰	۵۲/۸۶	لای سنگ	
۵۴/۶۱	۳۹/۶۷	۴۵/۳۹	۶۸/۲۴	۱۴/۹۶	۶۰/۳۳	۷۴/۲۵	۲۷/۳۵	گلسنگ	
۵۶/۳۵	۴۳/۷۲	۴۳/۶۵	۶۴/۵۰	-----	۵۶/۲۸	۷۶/۸۴	۸/۵۵	رس سنگ	
۳۰/۶۲	۲۸/۷۴	۶۹/۳۸	۷۴/۶۴	۵۴/۲۳	۷۱/۲۶	۷۸/۳۸	۶۷/۴۱	مارن	

جدول ۶- توصیف دوام پذیری واحدهای سنگی آغازاری بر اساس رده‌بندی‌های مختلف

رده‌بندی آمفوتو	رده‌بندی گامبل	رده‌بندی فرانکلین	جنس سنگ	محدوده
B - C	متوسط تا مقاوم	مقاوم تا خیلی مقاوم	ماسه سنگ	شمال غربی
C	ضعیف تا متوسط	متوسط تا مقاوم	لای سنگ	
C	ضعیف تا متوسط	ضعیف تا مقاوم	گلسنگ	
C	ضعیف تا متوسط	خیلی ضعیف تا مقاوم	رس سنگ	
C	متوسط	متوسط تا مقاوم	مارن	
A - B	مقاوم تا بسیار مقاوم	شدیداً مقاوم	ماسه سنگ	مرکزی
C	متوسط	مقاوم تا خیلی مقاوم	مارن	
C	ضعیف تا متوسط	متوسط تا مقاوم	ماسه سنگ	
C	ضعیف تا متوسط	متوسط تا مقاوم	لای سنگ	
C	بسیار ضعیف تا متوسط	ضعیف تا متوسط	گلسنگ	
C	بسیار ضعیف تا متوسط	خیلی ضعیف تا مقاوم	رس سنگ	
C	ضعیف تا متوسط	متوسط تا مقاوم	مارن	جنوب شرقی

و دانسیته بالاتر و درصد تخلخل و جذب آب کمتری هستند.

مقایسه مقادیر میانگین شاخص خمیری نمونه‌های گلی نشان می‌دهد که با کاهش اندازه ذرات در سنگ، مقدار این شاخص افزایش یافته است.

بر اساس طبقه‌بندی‌های دیر (۱۹۶۸) و بنیاوسکی (۱۹۷۳) و نتایج آزمایش‌های بار نقطه‌ای، واحدهای مختلف سازند آغازاری در رده سنگ‌های ضعیف تا مقاوم و مطابق طبقه‌بندی براش و فرانکلین (۱۹۷۲) در رده سنگ‌های با

بحث

ارزیابی اولیه مقادیر خصوصیات فیزیکی میانگین واحدهای سنگی سازند آغازاری مشخص می‌سازد که واحد ماسه سنگی بخش مرکزی نسبت به واحدهای مشابه در دو بخش شمال غربی و جنوب شرقی پهنه زاگرس، دارای وزن مخصوص و دانسیته بالاتر و درصد تخلخل و جذب آب کمتری است. همچنین واحدهای سنگی واقع در بخش شمال غربی در مقایسه با واحدهای بخش جنوب شرقی، دارای وزن مخصوص

(Soft Rocks) با مقاومت کمتر از ۲۵ MPa، قرار می‌گیرند.

تنها واحد ماسه‌سنگی بخش مرکزی در گروه سنگ‌های با مقاومت متوسط تا بالا قرار دارد.

مقاومت پایین تا خیلی بالا قرار می‌گیرند (Bierniawski, 1974).

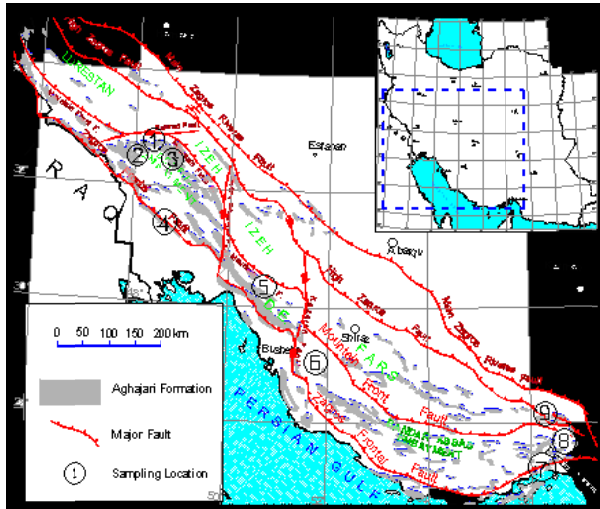
مطابق نتایج آزمایش‌های فشاری تک محوری، اغلب واحدهای سنگی مورد مطالعه در طبقه‌بندی‌های ISRM و انجمن بین‌المللی مکانیک خاک و مهندسی پی، جزو سنگ‌های نرم

جدول ۷- نتایج آزمایش مقاومت فشاری سه‌محوری

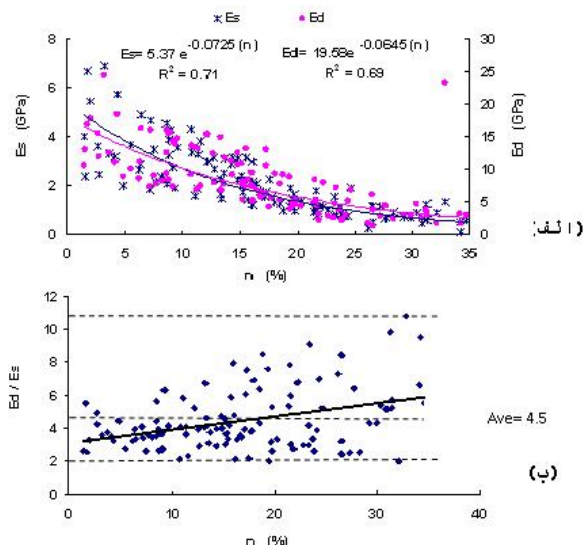
C (MPa) Ave. (Min-Max)	φ (Degree) Ave. (Min-Max)	میانگین سطح تنش اصلی (MPa)					جنس	موقعیت
		۱۴	۱۰	۶	۲	σ_3		
۵/۶۴ (۲/۴۵-۷/۷۸)	۳۸/۲ (۳۱/۵-۴۶/۰)	۸۷/۷۴ (۶/۲)	۷۶/۱ (۷/۶)	۶۳/۶۸ (۱۰/۶)	۳۸/۹۳ (۱۹/۵)	σ_1 (MC)*	ماسه‌سنگ	شمال غربی
۴/۸ (۱/۵۰-۶/۸۴)	۳۱/۸ (۲۸/۷-۳۸/۹)	۶۳/۴۸ (۴/۰)	۵۴/۱۴ (۵/۴)	۴۶/۱ (۷/۶)	۳۴/۰ (۱۷/۰)		لای‌سنگ	
۶/۱۸ (۳/۱۷-۷/۴۶)	۳۱/۰ (۲۶/۵-۳۶/۵)	۵۵/۶۳ (۳/۹)	۵۰/۴۷ (۵/۰)	۴۱/۷۴ (۶/۹)	۳۰/۲۴ (۱۵/۱)		گلسنگ	
۵/۱۵ (۰/۴۵-۹/۷۵)	۲۸/۸ (۲۴/۷-۳۵)	۵۸/۱ (۴/۱)	۵۲/۱ (۵/۲)	۴۸/۷۴ (۸/۱)	۳۴/۳ (۱۷/۱)		رس‌سنگ	
۴/۶۱ (۲/۶۲-۶/۸۵)	۳۲/۴ (۲۵/۰-۴۲/۷)	۵۴/۱۲ (۳/۸)	۴۶/۷۴ (۴/۶)	۳۷/۲ (۶/۲)	۲۶/۱۵ (۱۳/۱)		مارن	
۷/۸۵ (۴/۹۵-۹/۳۶)	۵۳/۲ (۴۱-۵۸/۰)	۱۱۹/۷۶ (۸/۰)	۹۸/۵۱ (۹/۸)	۸۲/۸۲ (۱۳/۸)	۶۴/۰ (۳۲/۰)	σ_1 (MC)	ماسه‌سنگ	کناری
۵/۳ (۳/۷۸-۷/۷۵)	۳۴/۵ (۲۷/۵-۴۶/۸)	۷۴/۳۸ (۵/۳)	۶۵/۵۷ (۶/۵)	۵۴/۲۳ (۹/۰)	۴۱/۰۲ (۲۰/۵)		مارن	
۴/۷۴ (۱/۰۷-۶/۲۷)	۳۱/۸۵ (۲۷-۳۶)	۷۴/۰ (۵/۳)	۵۸/۷۱ (۵/۸)	۴۱/۱۷ (۶/۸)	۲۶/۱۹ (۱۳/۱)	σ_1 (MC)	ماسه‌سنگ	شمال غربی
۳/۵۰ (۱/۳۰-۴/۷۶)	۲۸/۱۵ (۲۴/۸-۳۴/۰)	۴۷/۶۶ (۳/۴)	۳۶/۲۲ (۳/۶)	۲۹/۰۳ (۴/۹)	۱۸/۲۸ (۹/۱)		لای‌سنگ	
۴/۴۴ (۲/۸۲-۶/۲۵)	۲۸ (۲۴-۳۱/۰)	۴۰/۶۸ (۲/۹)	۳۳/۷۴ (۳/۴)	۲۵/۳۵ (۴/۲)	۱۶/۰۸ (۸/۰)		گلسنگ	
۳/۶۵ (۲/۲۷-۴/۹۵)	۲۴/۵ (۲۱/۰-۳۰)	۴۵/۷۵ (۳/۲)	۳۸/۱۲ (۳/۸)	۲۸/۱۱ (۴/۷)	۱۹/۱۸ (۹/۶)		رس‌سنگ	
۴/۲۵ (۱/۰۷-۵/۹۵)	۳۰/۲ (۲۳/۵-۴۰/۸)	۴۸/۱۶ (۳/۴)	۴۰/۷۴ (۴/۱)	۳۲/۱۸ (۵/۳)	۲۱/۱ (۱۰/۵)		مارن	

• ضریب موگی (Mogi Coefficient) بدست آمده برای هریک از نمونه‌ها در آزمایش سه‌محوری

نشان می‌دهد مقاومت فشاری با درصد تخلخل ($R^2=0.75$) و سرعت موج با دانسیته خشک ($R^2=0.70$) رابطه مناسب‌تری را بدست می‌دهند.



شکل ۱- گسترش سطحی سازند آگاجاری در پهنه زاگرس به همراه نقاط نمونه‌برداری



شکل ۲- ارتباط بین درصد تخلخل با (الف) مدول‌های الاستیک استاتیکی و دینامیکی (ب) نسبت آنها

از آنجائیکه تعیین شاخص‌های مقاومتی سنگ نظری شاخص بارنقطه‌ای، کشش غیرمستقیم برزیلی و سرعت موج نسبت به آزمایش مقاومت فشاری تکمحوری ساده و ارزان‌تر می‌باشد، در شکل‌های ۴ تا ۶ (الف) سعی شده تا رابطه بین این شاخص‌ها با مقاومت فشاری تکمحوری واحدهای سنگی

همچنین نسبت مدولی برای کلیه نمونه‌های سازند آگاجاری، کمتر از ۲۰۰ (متوسط $103/5$) بدست آمده که بر اساس طبقه‌بندی دیر و میلر در گروه سنگ‌های CL تا EL، به مفهوم سنگ‌های با مقاومت بسیار کم تا متوسط و نسبت مدولی پایین قرار می‌گیرند.

نتایج آزمایش کشش غیرمستقیم برزیلی نشان می‌دهد که مقاومت کششی سنگ با ریزتر شدن اندازه ذرات، به علت افزایش چسبندگی، بیشتر شده است.

آزمایش تعیین سرعت امواج الاستیک در سنگ نشان می‌دهد که این پارامتر با دانسیته خشک و مقاومت‌های فشاری و کششی سنگ‌ها نسبت مستقیم و با درصد تخلخل آنها نسبت عکس دارد. همانگونه که انتظار می‌رود با ریزتر شدن اندازه ذرات در سنگ، سرعت امواج الاستیک افزایش داشته است.

بطورکلی محاسبه مقادیر ثابت‌های الاستیک نشان می‌دهد که در حالت دینامیکی نسبت به استاتیکی، مقادیر بالاتری (۲)

بیش از ۱۰ برابر و متوسط $4/5$) برای آنها حاصل شده است.

تحلیل‌های آماری به روش رگرسیون خطی و غیرخطی برای مقادیر مدول الاستیک در هر دو حالت استاتیکی و دینامیکی نشان می‌دهند که از بین خصوصیات فیزیکی، درصد تخلخل پارامتر مناسب‌تری جهت ارزیابی این ثابت ژئومکانیکی است.

شکل ۲- الف نشان می‌دهد که درصد تخلخل با مدول الاستیک استاتیکی ارتباط بیشتری ($R^2=0.71$) نسبت به حالت

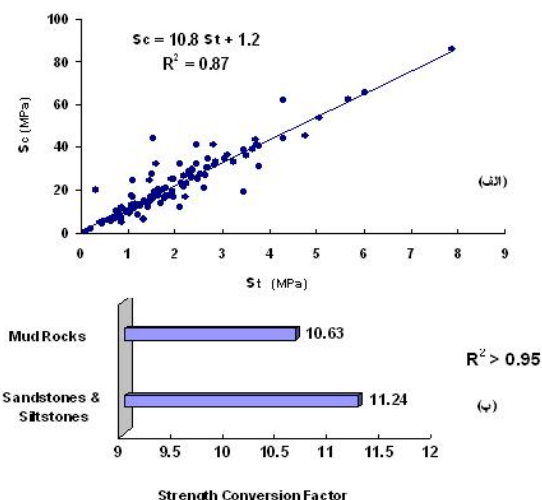
دینامیکی ($R^2=0.69$) دارد. این رابطه برای هر دو حالت

بصرورت نمایی منفی بدست آمده است. همچنین این ارزیابی نشان می‌دهد که با کاهش درصد تخلخل نمونه‌ها (یا افزایش دانسیته)، اختلاف مقادیر ثابت‌های الاستیک استاتیکی و دینامیکی کمتر شده و به یکدیگر نزدیک‌تر می‌شوند (شکل ۲-ب).

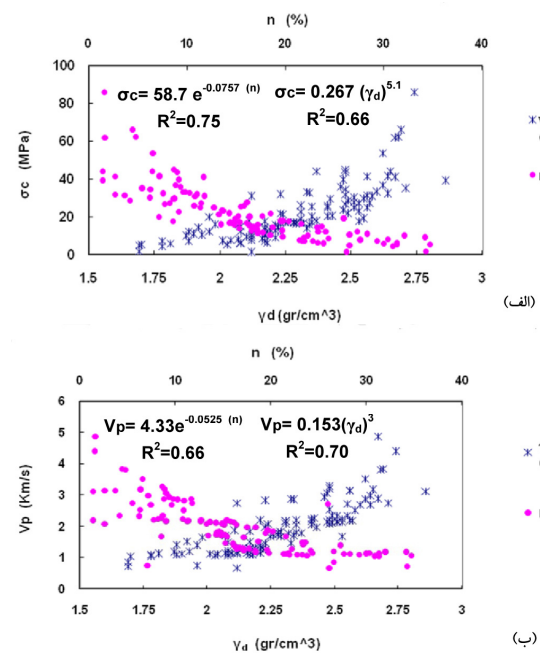
همچنین روابط بین مقاومت فشاری تکمحوری و سرعت موج P با درصد تخلخل و دانسیته خشک در شکل ۳ الف و ب ارائه شده است. این شکل‌ها نشان می‌دهد که هر دو پارامتر با درصد تخلخل بصورت نمایی نسبت عکس و با دانسیته خشک بصورت توانی نسبت مستقیم دارند. این شکل

نشان داده شده است. همچنین محدوده ضریب تعیین (R^2) آنها نیز ارائه گردیده است. در شکل ۷ الف و ب رابطه بین شاخص بارنقطه‌ای با مقاومت کششی برزیلی و ضرائب تبدیل برای این واحدهای سنگی، ارائه شده است. همانگونه که در شکل ۴ ملاحظه می‌شود، ضریب تبدیل شاخص بارنقطه‌ای برای واحدهای ماسه‌سنگ و لایی‌سنگ آغاجاری برابر ۱۶/۱ و برای سنگ‌های گلی آن برابر ۱۵/۶۵ بودست آمده است. این مقادیر با نتایج سایر محققین بخصوص (Read et al.) یعنی $\sigma_c = 16 I_{S(50)}$ ارائه شده برای سنگ‌های رسوبی، تطابق بسیار خوبی دارد (Norbury, 1986). همچنین ضرایب تبدیل مقاومت کششی برزیلی (σ_c) و سرعت موج الاستیک (V_p) به مقاومت فشاری تکمحوری برای واحدهای ماسه‌سنگ و لایی‌سنگ به ترتیب برابر $11/24$ و $11/51$ و برای واحدهای گلی به ترتیب برابر $10/63$ و $10/47$ حاصل شده است (شکل‌های ۵ و ۶). با توجه به محدوده ($R^2 < 0.97$) بدست آمده برای سرعت امواج الاستیک، مشخص می‌شود ارتباط این شاخص با مقاومت فشاری تکمحوری به نسبت سایر شاخص‌ها کمتر است.

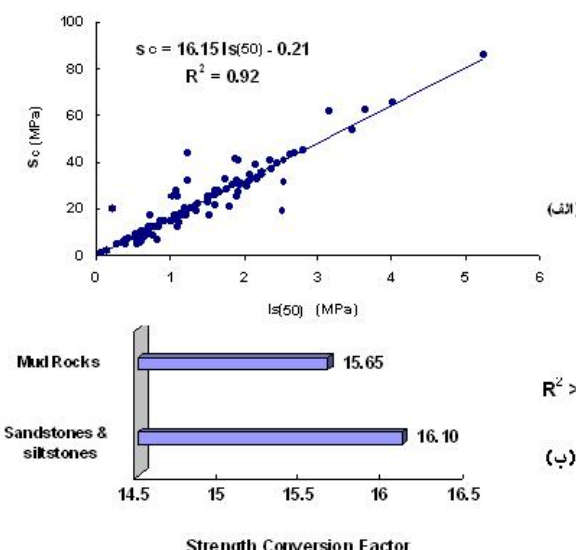
ضرایب تبدیل شاخص بارنقطه‌ای به مقاومت کششی برزیلی نیز برای واحدهای ماسه‌سنگ و لایی‌سنگ برابر $1/42$ و برای سنگ‌های گلی برابر $1/46$ بودست آمده است.



شکل ۵- (الف) رابطه مقاومت کشش برزیلی با مقاومت فشار تکمحوری (ب) ضرایب تبدیل واحدهای سنگی

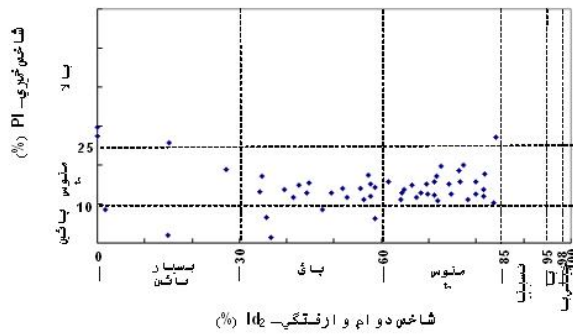


شکل ۳- ارتباط بین درصد تخلخل و دانسیته خشک با مقاومت تکمحوری (الف) و سرعت موج (ب)



شکل ۴- (الف) رابطه شاخص بارنقطه‌ای با مقاومت فشاری تکمحوری (ب) ضرایب تبدیل واحدهای سنگی سازند آغاجاری نشان داده شود. در قسمت‌های (ب) نیز ضرائب تبدیل مقاومتی که از روش رگرسیون خطی گذر کرده از مبداء مختصات بدست آمده، برای واحدهای ماسه‌سنگی و لایی‌سنگی پایدار در برابر هوازدگی و همچنین سنگ‌های گلی (لایی‌سنگ‌های سست، گلسنگ‌ها، رس‌سنگ‌ها و مارن‌ها)

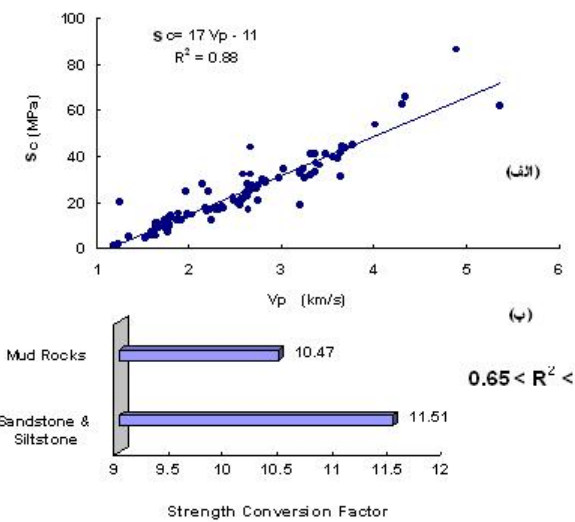
سازند تنها در گروه C قرار می‌گیرند. به علاوه در مورد سنگ‌های گلی، گامبل (۱۹۷۱) نمودار ارائه شده در شکل ۸ را پیشنهاد نموده است. این نمودار ترکیبی از شاخص دوام و ارفتگی در سیکل دوم (Id_2) و شاخص خمیری (PI) است. بر اساس این نمودار، بیش از ۷۵ درصد سنگ‌های گلی سازند آغازاری دارای شاخص خمیری متوسط و شاخص دوام و ارفتگی پایین تا متوسط هستند.



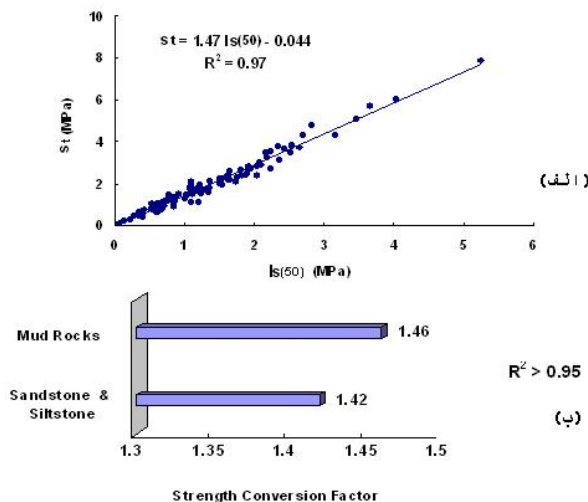
شکل ۸- طبقه‌بندی سنگ‌های گلی سازند آغازاری بر اساس روش گامبل (۱۹۷۲)

با مقایسه مقادیر تنش‌های اصلی حداقل بدست آمده از آزمایش‌های سه‌محوری، مشخص می‌شود که با افزایش تنش محصور کننده، در کلیه نمونه‌ها مقاومت نهایی افزایش یافته است. این رفتار می‌تواند بیانگر این نکته باشد که بلوك‌های انتخاب شده دارای حداقل میزان هوازدگی بوده و در ضمن از لحاظ ماهیت سنگ بکر، هر یک از واحدهای سنگی آغازاری تقریباً همگن بوده و دارای حداقل سطوح ضعف می‌باشند.

با استفاده از مقادیر تنش‌های اصلی بدست آمده از آزمایش‌های سه‌محوری و برنامه Rocdata، پوش گسیختگی کلیه واحدهای سنگی سازند آغازاری برآش شده و مقادیر m_i و c_i آنها محاسبه گردیده است. نتیجه این ارزیابی در شکل ۹ و جدول ۸ نشان داده شده است. در شکل ۹-الف علاوه بر پوش گسیختگی، خط موگی (Mogi Line)، که بیانگر انتقال از رفتار شکننده به شکل پذیر است نیز بر روی کلیه نمودارها رسم گردیده تا بتوان به کمک آن سطوح تنش همه‌جانبه‌ای که هر یک از واحدهای سنگی در آن سطح تنش، رفتار شکل پذیر از خود نشان می‌دهند را شناسایی نمود. در صورتیکه پوش



شکل ۶- (الف) رابطه سرعت موج تراکمی با مقاومت فشاری تکمحوری (ب) ضرایب تبدیل واحدهای سنگی



شکل ۷- (الف) رابطه شاخص بار نقطه‌ای با مقاومت کششی برزیلی (ب) ضرایب تبدیل واحدهای سنگی
بر اساس نتایج آزمایش‌های دوام پذیری و رده‌بندی فرانکلین، واحدهای سنگی سازند آغازاری در گروه سنگ‌های خیلی ضعیف تا شدیداً مقاوم قرار می‌گیرند. رده‌بندی گامبل نشان می‌دهد واحدهای سنگی بخش جنوب‌شرقی در محدوده بسیار ضعیف تا متوسط، بخش شمال‌غربی در محدوده بسیار ضعیف تا مقاوم و بخش مرکزی در محدوده متوسط تا بسیار مقاوم قرار دارند. همچنین در رده‌بندی آمفیوت واحد ماسه‌سنگی بخش مرکزی در گروه A تا B، ماسه‌سنگ شمال‌غربی در گروه B تا C و سایر واحدهای سنگی این

به این ترتیب با توجه به پوش‌های گسیختگی و خطوط موگی ترسیم شده بر روی نمودارها، می‌توان سطوح تنش همه‌جانبه‌ای را که در هر یک از واحدهای سنگی مورد بررسی در آنها انتقال از رفتار شکننده به شکل‌پذیر را از خود نشان می‌دهند، مطابق جدول ۸ پیشنهاد نمود.

شکل ۹- ب نشان می‌دهد مقادیر محاسبه شده m_i با مقادیر پیشنهاد شده توسط هوک و براون برای این پارامتر، انطباق بسیار نزدیکی دارند ($R^2 = 0.97$). به نحویکه تنها در مورد ماسه‌سنگ‌ها کمی پایین‌تر از مقدار توصیه شده ($m_i = 12/42$) بدست آمده و برای سایر واحدهای سنگی در محدوده پیشنهادی قرار دارد.

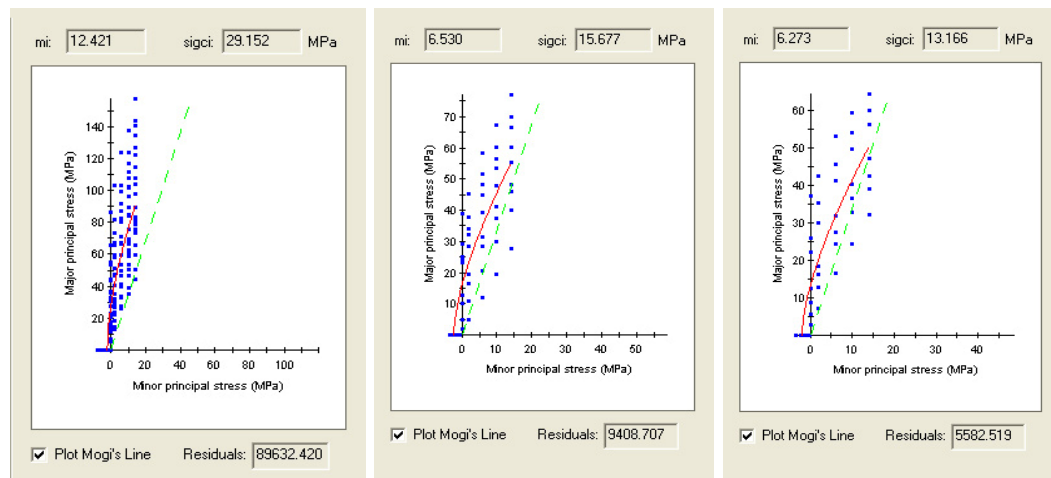
جدول ۸- مقادیر m_i و m_{ci} بدست آمده از آزمایش‌های سه‌محوری به همراه مقادیر m_i توصیه شده توسط هوک-براون و سطوح ۵ پیشنهاد شده در این مقاله برای شرط انتقال از رفتار شکننده به شکل‌پذیر

σ_3 (MPa) (Suggested)	σ_{ci} (MPa) (Calculated)	m_i (Suggested)	m_i (Calculated)	واحد سنگی
۳۵ - ۵۵	۲۹/۱۵	۱۷ ± (۴)	۱۲/۴۲	ماسه‌سنگ
۱۵ - ۲۰	۱۵/۶۸	۷ ± (۲)	۶/۵۳	لای‌سنگ
۱۰ - ۱۵	۱۳/۱۷	۷ ± (۴)	۶/۲۷	گلسنگ
۱۰ - ۱۵	۱۶/۰۷	۴ ± (۲)	۶/۷۶	رس‌سنگ
۱۵ - ۲۰	۱۷/۷۴	۷ ± (۲)	۷/۱۴	مارن

نتیجه‌گیری

- سازند آگاجاری با دو رخساره متفاوت در پهنه زاگرس مشخص می‌شود. رخساره اول اغلب شامل ماسه‌سنگ، لای‌سنگ، گلسنگ، رس‌سنگ و گاه مارن است که بیشتر در محدوده شمال‌غربی و جنوب‌شرقی این پهنه (قسمت‌های شمالی فروافتادگی دزفول و ناحیه بندرعباس) گسترش دارد. رخساره دوم اغلب شامل ماسه‌سنگ و مارن است که بیشتر در ناحیه مرکزی (فارس ساحلی و قسمت‌های جنوبی و میانی فروافتادگی دزفول) قابل مشاهده است. از لحاظ زمین ساختی نیز می‌توان چنین فرض نمود که دو گسل امتدادلغز قطر-کازرون و هندیجان-بهرگانسر بخش مرکزی را از دو بخش دیگر جدا نموده است.

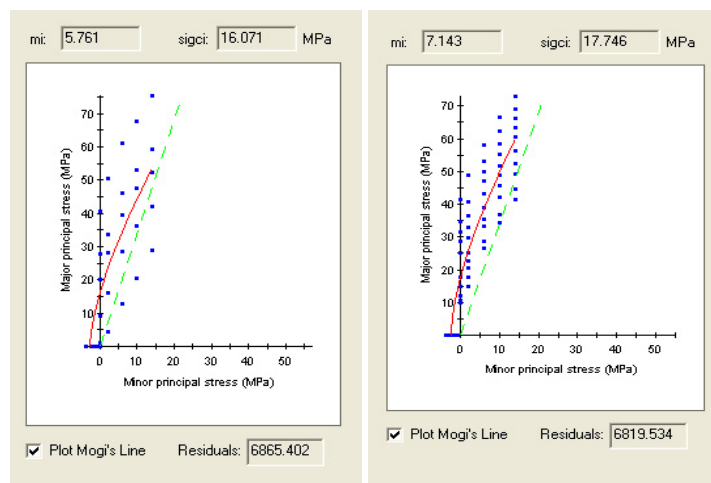
گسیختگی بالاتر از خط موگی ($\sigma_3 > 3/4\sigma_i$) واقع شود، بیانگر رفتار شکننده نمونه‌ها در هنگام شکست است. ولی در حالتی که خط موگی بالاتر از پوش گسیختگی قرار بگیرد، دلالت بر رفتار شکل‌پذیر نمونه‌ها در هنگام گسیختگی خواهد داشت. حال با توجه به نمودارهای تنش‌های اصلی، می‌توان چنین قضابت نمود که در بیش از ۹۰ درصد واحدهای ماسه‌سنگی در لحظه شکست، رفتار الاستیک حاکم بوده است. تنها دو نمونه در سطوح تنش همه‌جانبه سوم و چهارم انتقال از رفتار شکننده به شکل‌پذیر را نشان می‌دهند. در مورد لای‌سنگ‌ها، در بیش از ۷۵ درصد آنها در کلیه سطوح تنش همه‌جانبه، رفتار شکننده حاکم بوده است. یک نمونه لای‌سنگی در سطح تنش همه‌جانبه اول رفتار شکننده و در سطوح دوم و سوم انتقال از رفتار شکننده به شکل‌پذیر و در سطح چهارم رفتار شکل‌پذیر را نشان می‌دهد. تنها در یک نمونه لای‌سنگی رفتار کاملاً شکل‌پذیر در کلیه سطوح تنش همه‌جانبه مشاهده می‌شود. رفتار کاملاً شکننده در کلیه سطوح همه‌جانبه، در حدود ۴۰ درصد گلسنگ‌ها روی داده است. در ۴۵ درصد آنها در دو سطح تنش همه‌جانبه اول و دوم، رفتار شکننده و در بقیه سطوح رفتارهای شکل‌پذیر یا انتقال از رفتار شکننده به شکل‌پذیر قابل مشاهده است. در ۱۵ درصد باقیمانده گلسنگ‌ها، تنها در سطح تنش همه‌جانبه اولیه رفتار شکننده دیده می‌شود و در سه سطح انتهایی رفتار شکل‌پذیر مشخص است. در مورد رس‌سنگ‌ها، ۶۰ درصد رفتار شکننده در کلیه سطوح تنش همه‌جانبه مشاهده می‌شود. در حدود ۲۰ درصد رفتار کاملاً شکل‌پذیر و در ۲۰ درصد بقیه در دو سطح همه‌جانبه اولیه رفتار شکننده، در سطح سوم انتقال از رفتار شکننده به شکل‌پذیر و در سطح چهارم رفتار شکل‌پذیر صورت گرفته است. واحدهای مارنی نیز در ۸۰ درصد موارد رفتار کاملاً شکننده را در کلیه سطوح تنش همه‌جانبه اولیه، نشان داده‌اند. در بقیه موارد در دو سطح تنش همه‌جانبه اولیه، رفتار شکننده، در سطح سوم، انتقال از رفتار شکننده به شکل‌پذیر و در سطح چهارم رفتار شکل‌پذیر حاکم بوده است.



(ماسهنگ)

(لایسنگ)

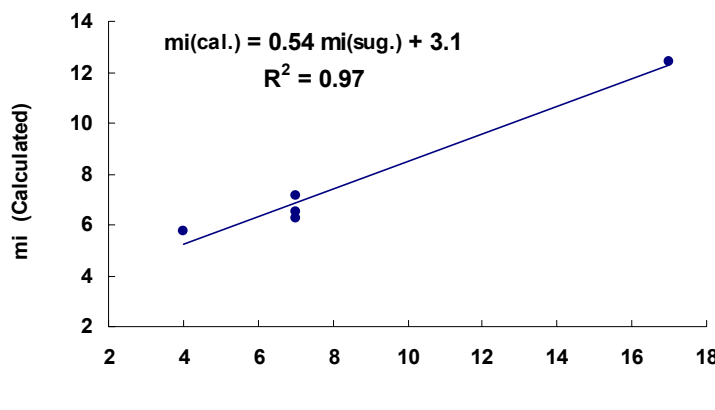
(گلسنگ)



(رس سنگ)

(الف)

(مارن)



(ب)

شکل ۹- مقادیر m_i و σ_{ci} بدست آمده از برنامه Rocdata برای (الف) واحدهای مختلف سازند آغازاری (ب) رابطه بین مقادیر محاسبه شده و پیش‌بینی شده برای m_i

- مقادیر ثابت‌های الاستیک دینامیکی بالاتر از مقادیر استاتیکی آنها بدست آمده‌اند. با کاهش درصد تخلخل (یا افزایش دانسیته) این اختلاف کاهش یافته و مقادیر ثابت‌های الاستیک دینامیکی و استاتیکی به یکدیگر نزدیکتر می‌شوند.
- بر اساس رده‌بندی گامبل، دوام‌پذیری ماسه‌سنگ‌های بخش شمال‌غربی در رده متوسط تا مقاوم، بخش مرکزی در رده مقاوم تا بسیار مقاوم و بخش جنوب‌شرقی ضعیف تا متوسط قرار می‌گیرند. همچنین بیش از ۷۰ درصد سنگ‌های گلی سازند آغازگاری دارای شاخص خمیری متوسط و شاخص دوام‌وارفتگی پایین تا متوسط می‌باشند.
- در کلیه آزمایش‌های سه‌محوری با افزایش سطوح تنفس محصور کننده، مقاومت نهایی کلیه نمونه‌ها افزایش یافته که می‌تواند بیانگر همگن بودن و حداقل سطوح ضعف در سنگ بکر این واحدها باشد. همچنین مقادیر محاسبه شده m_{ci} برای هر یک از واحدهای سنگی سازند آغازگاری با مقادیر پیشنهاد شده توسط هوک و براون انطباق بسیار مناسبی دارند.
- به دلیل حضور میانلایه‌ها و رگه‌های رسوبات تبخیری نظیر ژیپس و ایندریت در برخی نواحی در بین واحدهای رسوبی آواری سازند آغازگاری و از آنجا که ضخامت کم این رسوبات اجازه اخذ نمونه‌های مناسب آزمایشگاهی را برای انجام آزمون‌های ژئومکانیکی نمی‌دهند، لذا به منظور طبقه‌بندی توده‌سنگ واحدهای مختلف این سازند، لازم است تا با توجه به شرایط برجا و رفتار پلاستیسیته و وابسته به زمان رسوبات تبخیری، امتیاز بدست آمده برای این واحدهای سنگی اصلاح گردد.

مطابق ارزیابی ژئومکانیکی به عمل آمده ماسه‌سنگ‌های بخش مرکزی نسبت به دو بخش دیگر از مقادیر مقاومتی بالاتری برخوردار هستند. همچنین واحدهای سنگی در بخش شمال‌غربی از واحدهای مشابه خود در بخش جنوب‌شرقی نسبتاً مقاوم‌تر می‌باشند. این روند مقاومتی می‌تواند به این فرضیه منجر شود که واحدهای بخش مرکزی احتمالاً به دلیل قرار گرفتن در محدوده عملکرد گسل‌های امتدادلغز هندیجان و کازرون فرآیندهای دیازنتیکی را نسبت به دو بخش دیگر سریع‌تر طی کرده‌اند.

- بر اساس نتایج آزمایش‌های شاخص بارنقطه‌ای، واحدهای سنگی سازند آغازگاری در رده سنگ‌های ضعیف تا متوسط (و گاه بالا) قرار می‌گیرند.
- آزمایش‌های مقاومت فشاری تک‌محوری نشان می‌دهند اغلب واحدهای سنگی آغازگاری در پهنه مورد مطالعه جزو سنگ‌های سست (کمتر از ۲۵ MPa) قرار می‌گیرند. اما ماسه‌سنگ‌های بخش مرکزی به گروه سنگ‌های با مقاومت متوسط تا بالا تعلق دارند. بر اساس طبقه‌بندی دیبر و میلر، واحدهای سنگی آغازگاری در گروه سنگ‌های با مقاومت بسیار کم تا متوسط و نسبت مدولی پایین قرار می‌گیرند.
- سرعت امواج الاستیک و مقاومت فشاری تک‌محوری با دانسیته خشک و درصد تخلخل به ترتیب دارای نسبت مستقیم (تصویرت توانی) و عکس (تصویرت نمایی) می‌باشند.

منابع:

- آقاباتی سع.، (۱۳۸۳) زمین‌شناسی ایران، سازمان زمین‌شناسی و اکتشاف معدنی کشور.
- حامه‌چیان م.، (۱۳۶۹) بررسی ویژگی‌های فیزیکی و مکانیکی سنگ‌های مارنی- رسی، پایان‌نامه کارشناسی ارشد، دانشگاه تربیت مدرس.
- دوست‌محمدی ر.، (۱۳۷۸) تحلیل پایداری و طراحی پوشش بتونی تونلهای انحراف آب سدگتوند علیا، پایان‌نامه کارشناسی ارشد، دانشگاه تهران.

شریفی ا.، (۱۳۸۴) بررسی ویژگی‌های زمین‌شناسی مهندسی ساختگاه سدهای شمیل و نیان (استان هرمزگان) به منظور طراحی پرده آب‌بند، پایان نامه کارشناسی ارشد، دانشگاه تربیت مدرس.

شمسمی فراشاه ح.، (۱۳۸۱) بررسی رفتار توده‌های سنگی اطراف تونل اهرم- فراشبند و تحلیل پایداری تونل، پایان نامه کارشناسی ارشد، دانشگاه امیرکبیر.

فاروق‌حسینی م.، (۱۳۷۶) درآمدی بر مکانیک سنگ، انتشارات سالکان.

فتحی برفه ع.، (۱۳۸۳) تعیین خصوصیات مکانیکی مارن‌های سازندهای دوران سوم زاگرس و ارائه معیار شکست، پایان نامه کارشناسی ارشد، دانشگاه تربیت مدرس.

فهیمی فر ا.، سروش ح.، (۱۳۸۰) آزمایش‌های مکانیک سنگ: مبانی نظری و استانداردها، انتشارات شرکت سهامی آزمایشگاه فنی و مکانیک خاک، جلد اول.

مرادیان ذ.، (۱۳۸۴) تعیین خصوصیات مکانیکی و ارزیابی کارایی معیارهای شکست در پیش‌بینی رفتار ماسه‌سنگ نرم، پایان نامه کارشناسی ارشد، دانشگاه تربیت مدرس.

مهندسين مشاور مهاب قدس، (۱۳۸۳) گزارش ژئوتکنیک طرح کنترل پایداری و علاج بخشی سد تنظیمی انحرافی کرخه.

Abdullah H., Dhawan A.K. (2002) Some Implications of Empiricism and Assumptions in Laboratory Testing, International Journal of Rock Mechanics & Mining Sciences, Vol. 41, 374-380.

Aversa S., Evangelista A. (1993) Some Aspects of the Mechanical Behavior of Structured Soils and Soft Rocks, Geotechnical Engineering, Vol. 1, 268-275.

Bell F.G. (2000) Engineering Properties of Soils and Rocks, University of Natal, Durban, South Africa, Fourth Edition.

Bieniawski Z.T. (1974) Stimating the Strength of Rock Materials, J.S. African Insitute of Mining & Metallurgy, Vol. 74, 312-320.

Bieniawski Z.T. (1975) Point Load Test in Geotechnical Practice, Engineering Geology, Vol. 9, 1-11.

Broch E., Franklin J.A. (1972) The Point Load Strength Test, International Journal of Rock Mechanics & Mining Science, Geomech. Absr., Vol. 22, No. 2, 61-70.

Brown E.T. (1981) Rock Caracterization Testing and Monitoring: ISRM Suggested Methods, Pergamon Press, Oxford, UK, pp 211.

Franklin J.A., Chandra R. (1972) The Slake Durability Index, International Journal of Rock Mechanics & Mining Science International Journal of Rock Mechanics & Mining Science, Vol. 9, 325-342.

Gamble J.C. (1971) Durability Plastisity Classification of Shales and Other Argillaceous Rock, ph.D. Thesis, University of Illinois.

Gunsallus K.L., Kulhawy F.H. (1986) A ComParative Evaluation of Rock Strength Measures, International Journal of Rock Mechanics & Mining Science, Geomech. Abstr, Vol. 21, 231-248.

Kahraman S. (2001) Evaluation of Simple Methods for Assessing the Uniaxial Compressive Strength of Rock, International Journal of Rock Mechanics & Mining Sciences, Vol. 38, 981-994.

Lavrov A., Vervoort A. (2002) Theoretical Treatment of Tangential Loading Effects on the Brazilian Test Stress Distribution, International Journal of Rock Mechanics & Mining Sciences, Vol. 39, 275-283.

Norbury D.R. (1986) The Point Load Test in Site Investigation Practice. In: Hawkins AB, Editor, Geol. Soc. Eng. Geol. Spec. Publ, No. 2, 325-329.

Ramamurthy T. (2001) Shear Strength Response of Some Geological Materials in Triaxial Compression, International Journal of Rock Mechanics & Mining Science, Vol. 38, 683-697.

Read J.R.L., Thornton P.N., Regan W.M. (1980) A Rational Approach to the Poin Load Test, In: Proceedings of the Australian-New Zealand Geomech Conference, Vol. 1, Wellington, New Zealand, 35-39.

Report of ISSMFE Technical Committee on Soft Rocks and Indurated Soils and Proceedings of Discussion Session (1989) Recent Advances in Soft Rock Research, No.5, XII, ICSMFE, Rio De Janiro.

Ulusay R., Sonmez H. (2000) Factors Affecting the Durability of Selected Weak and Claybearing Rocks from Turkey, with particular emphasis on the influence of the number of drying and wetting cycles, Engineering Geology, Vol. 57, 215-237